

I-B382

キャビティ流れにおける空力騒音の音源特性に与える周期的搅乱の影響

岡山大学環境理工学部 ○正員 比江島慎二
岡山大学大学院 学生員 大橋 康雄

1. はじめに

ペランダの手すりやブラインド、橋梁高欄部¹⁾などから空力音と呼ばれる流体励起音が発生し、騒音問題を引き起こすことがある。本研究では典型的な空力騒音の発生源であるキャビティ流れに対し、そこから発生する空力音の制御を目的として、剥離せん断層に付加した周期的な流速搅乱が空力音の発生源に及ぼす影響について数値シミュレーションにより検討した。

2. 解析方法

林ら²⁾は、空力音の基礎式である **Lighthill** 方程式において非圧縮近似と高レイノルズ数を考慮し、流れ場の物理変数を非圧縮成分と音響成分に分離するなどして以下の方程式を導いた。ただし、 a_0 は音速、 p は非圧縮流れ場における圧力、 ρ'' は密度変動の音響成分、 $\bar{p}(x, y)$ は流れ場における圧力の時間平均を表す。

$$\frac{\partial^2 \rho''}{\partial t^2} - a_0^2 \nabla^2 \rho'' = - \frac{\partial^2 \rho_1}{\partial t^2} \equiv \gamma \quad \rho_1 = \frac{p(x, y, t) - \bar{p}(x, y)}{a_0^2} \quad (1, 2)$$

(1) 式は、右辺の非圧縮性流れ場における圧力変動の時間による2階微分を音源項 γ として、空力音の伝播式と考えられる。林らはキャビティ流れにおける γ 変動の分布特性などを解析し、 γ が空力騒音の音源の指標となり得ることを示している。本研究においても、音源項 γ を空力騒音の音源の指標として用いる。

図1に解析領域の境界条件を示す。一様流マッハハ数0.1、キャビティ長さ L と一様流速 U_0 で定義されるレイノルズ数を50000とする。また、キャビティ深さは $D=L/4$ とする。また、流入流速 U_{inlet} は境界層厚さ $\delta=0.1L$ とし、次式の速度分布で与えた³⁾。

$$U_{inlet} = \frac{U_0 y'}{\delta} (2 - \frac{y'}{\delta}) \quad 0 \leq y' \leq \delta \quad (3)$$

$$= U_0 \quad y' > \delta \quad (4)$$

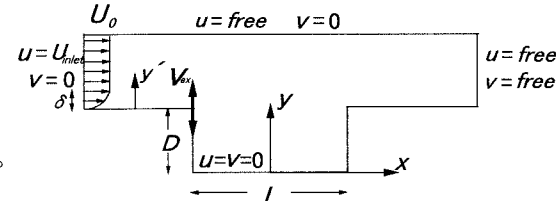


図1 境界条件

本研究では、上流エッジの物体上より流れに対して鉛直方向に流速搅乱を加え、それらが空力音の音源特性に及ぼす影響について検討する。搅乱の変動流速 v_{ex} は、 U_{ex} を搅乱の振幅、 f_{ex} を搅乱の周波数として次式で表す。

$$v_{ex} = U_{ex} \sin(2\pi f_{ex} t) \quad (5)$$

本解析では搅乱の強さを一様流速 U_0 と搅乱振幅 U_{ex} の比 $A_{ex}=U_{ex}/U_0$ で表す。搅乱強さは、 $A_{ex}=0.01, 0.02, 0.05, 0.10$ とした。搅乱の周波数 f_{ex} は、上流エッジからの渦放出周波数に相当する $St_{ex}=f_{ex}L/U_0=0.89$ その他に $St_{ex}=1.0, 1.2, 1.4, 1.6, 1.8, 2.0$ の周波数を与えた。

非圧縮粘性の **Navier-Stokes** 方程式および連続の式は流速双線形、圧力一定の四辺形混合補間要素を用いて、**SUPG** 法により離散化した。図2に、用いた有限要素メッシュを示す。キャビティ上流・下流エッジ付近

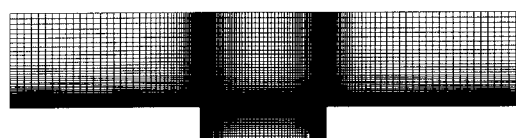


図2 有限要素メッシュ

キーワード：キャビティ流れ 空力騒音 音源 周期的搅乱 有限要素法

岡山県岡山市津島中2-1-1 岡山大学環境理工学部環境デザイン工学科

TEL 086-251-8168 FAX 086-251-8257

の物体表面上のメッシュ厚さは、キャビティ深さ D を基準に無次元化した値で 0.005 である。有限要素方程式は Predictor-Corrector 法により時間積分を行う。

3. 解析結果

図3は、搅乱なしおよび $A_{ex}=0.01$, $St_{ex}=1.0$ の搅乱を付加した時の音源項 γ 変動の rms 値分布である。搅乱を付加しない場合、後流エッジ付近および、キャビティ中央付近で γ の変動が激しい部分が生じている。また、搅乱を付加した場合も分布特性にはあまり変化がなく、やはり後流エッジ付近とキャビティ中央付近で変動が激しい。キャビティ流れにおける空力音の音源は、一般に後流エッジ付近と考えられるが中央付近で γ の変動が高くなっているのは、渦放出周波数の高調波成分の影響によるものと考えられる。

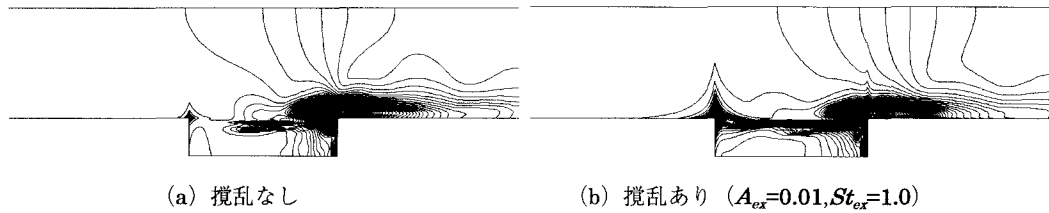


図3 音源項 γ の rms 値分布

次に、音源項 γ の変動が最も激しいと思われる後流エッジ近傍の点 ($x = 0.491L$, $y = 0.262L$)において、音源の強さの搅乱付加による変化を検討した。この点における γ 変動の渦放出周波数成分とその高調波成分および搅乱周波数成分のパワースペクトル値の変化を図4に示す。この時付加した搅乱は $A_{ex}=0.01$ であり、 $St_{ex}=0$ は搅乱なしの場合を表す。搅乱を付加しない場合では、渦放出周波数においてパワースペクトル値が最大となり、高調波は徐々に低くなっている。渦放出周波数と同じ $St_{ex}=0.89$ の搅乱を付加した場合では高調波成分は搅乱を付加しない場合に対し高くなってしまうが、渦放出周波数成分のパワースペクトル値を10%程度低減できている。 $St_{ex}=1.4$ から 2.0 では搅乱間においてほとんど違いがなく、搅乱周波数の成分はあまり現れず、渦放出周波数成分は数%減少している。しかし、高調波成分がかなり増加する。 $St_{ex}=1.0$ 、 1.2 では、搅乱を付加しない場合に対し渦放出周波数成分を 50%近く低減できており、特に $St_{ex}=1.0$ では高調波でもピーク値をわずかに低減できている。なお、 $A_{ex}=0.02, 0.05, 0.10$ についても検討したが、渦放出周波数成分をある程度低減できるものの、搅乱周波数成分が非常に大きくなってしまいあまり良好な結果は得られなかった。

4.まとめと展望

本研究では、周期的搅乱がキャビティ流れにおける空力音の音源特性に与える影響について検討した。その結果、適切な強さおよび周波数の搅乱により、音源の強さをある程度制御できる可能性が示された。今後は、搅乱の強さ・周波数・付加位置などを様々な変化させて検討する予定である。また、高調波が高い値を示す事が多いがそれが遠方場で観測される音場にどの程度の影響を及ぼすかは不明であるため、それを明らかにする必要がある。

<参考文献>

- (1) 比江島 他：平板列で構成される高欄に生じる空力音に関する実験的研究、日本風工学会誌、第 55 号、1993、pp.111-112
- (2) 林 他：低マッハ数流れにおける空力音の音源解析、第 11 回数値流体シンポジウム、1997、pp.117-118
- (3) 林 他：低マッハ数における空力音の数値シミュレーション、第 29 回乱流シンポジウム講演論文集、1997-7、pp.273-274

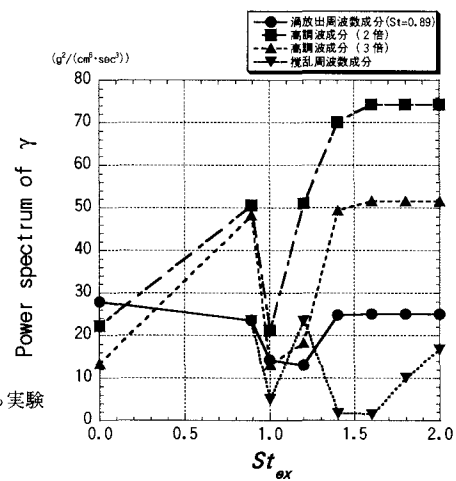


図4 搅乱付加による音源項の各周波数成分のパワースペクトル値の変化